

М. М. Кабардов, О. В. Сарафанов

## ЧИСЛЕННЫЙ ПОИСК ПОВЕРХНОСТНЫХ ВОЛН В ПЕРИОДИЧЕСКОЙ РЕШЕТКЕ

Мы рассматриваем решетку, полученную присоединением к полуплоскости периодической последовательности прямоугольников. В решетке ставится однородная задача Неймана для уравнения Гельмгольца. Процесс рассеяния плоских волн в решетке характеризуется матрицей конечного размера, которую мы называем матрицей рассеяния. Метод приближенного вычисления этой матрицы был предложен в работе [1] и обоснован в [2]. В [1] этот метод применялся для вычисления так называемой "расширенной" матрицы рассеяния (см. точное определение в п. 2). В терминах расширенной матрицы рассеяния формулируется достаточное условие для существования в решетке поверхностных волн (см. п. 3). Вычисляя приближенно расширенную матрицу рассеяния, можно проверить выполнение этого условия и, в случае его выполнения, сделать вывод о наличии в решетке поверхностной волны. Информация, получаемая в процессе вычисления расширенной матрицы рассеяния, позволяет найти и профиль поверхностной волны, точнее говоря, распределение ее интенсивности в ячейке периодичности рассматриваемой решетки.

В настоящей работе мы реализуем метод поиска поверхностных волн для конкретной решетки, исследуем сходимость численной процедуры и описываем порядок действий при реализации метода с учетом информации о его сходимости.

### §1. МЕТОД ВЫЧИСЛЕНИЯ МАТРИЦЫ РАССЕЯНИЯ

Пусть  $\Omega \subset \mathbb{R}^2$  – область, полученная из верхней полуплоскости  $\{(x_1, x_2) \in \mathbb{R}^2 : x_2 > 0\}$  добавлением к ней последовательности прямоугольников  $\{(x_1, x_2) : -a/2 + 2\pi n < x_1 < a/2 + 2\pi n, -b < x_2 \leq 0\}$ , где  $n \in \mathbb{Z}$  и  $a, b$  – положительные числа (рис. 1). В  $\Omega$  рассмотрим задачу

---

*Ключевые слова:* дифракционная решетка, уравнение Гельмгольца, поверхностная волна, расширенная матрица рассеяния, метод приближенного вычисления.

Работа выполнена при поддержке гранта Российского Научного Фонда No. 22-21-00136. Численные результаты получены с использованием оборудования Научного парка СПбГУ, проект 110-29723.

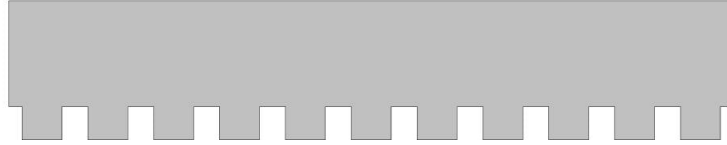


Рис. 1. Решетка  $\Omega$ .

Неймана для уравнения Гельмгольца:

$$-\Delta u(x) = \mu u(x), \quad x \in \Omega; \quad \partial_\nu u(x) = 0, \quad x \in \partial\Omega, \quad (1.1)$$

где  $\nu$  – единичный вектор внешней нормали к  $\partial\Omega$ .

Разделением переменных нетрудно убедиться, что при фиксированном значении спектрального параметра  $\mu$  плоские волны в такой решетке имеют вид

$$V_n^\pm(x_1, x_2; \mu) = c_n e^{i(\alpha+n)x_1} e^{\mp i(\mu - (\alpha+n)^2)^{1/2} x_2},$$

где  $\alpha \in [-1/2, 1/2)$ ;  $n$  пробегает множество целых чисел, удовлетворяющих неравенству  $(\alpha + n)^2 < \mu$ ;  $c_n = (4(\mu - (\alpha + n)^2))^{-1/4}$  – нормировочный множитель, его выбор поясняется ниже, при обсуждении задачи во вспомогательном волноводе. Значения  $\mu = (\alpha + n)^2$  называются пороговыми, при таких  $\mu$  к списку волн добавляются решения  $v_0^\pm(x_1, x_2) = e^{i(\alpha+n)x_1} (1 \mp ix_2) / \sqrt{2}$ .

Пусть параметр  $\alpha$  фиксирован, а  $\mu$  не является порогом. Перенумеруем пары  $V_n^\pm$  в произвольном порядке и обозначим через  $v_l^\pm$ , используя натуральный индекс  $l = 1, \dots, L$ . Рассеяние волны  $v_l^+$  описывается решением задачи (1.1), определяемым своей асимптотикой

$$Y_l(x_1, x_2; \mu) = v_l^+(x_1, x_2; \mu) + \sum_{m=1}^L S_{lm}(\mu) v_m^-(x_1, x_2; \mu) + O(e^{-\delta x_2})$$

при  $x_2 \rightarrow \infty$ , где  $\delta$  – некоторое положительное число. Коэффициенты  $S_{lm}$  полностью характеризуют процесс рассеяния. Для их вычисления заменим задачу в решетке задачей в “полуполосе”  $\Pi := \{x \in \Omega : -\pi \leq$

$x_1 \leq \pi$ }:

$$\begin{aligned} -\Delta v(x) &= \mu v(x), \quad x \in \Pi; \quad \partial_\nu v(x) = 0, \quad x \in \Gamma_0; \\ \partial_1^j v|_{\Gamma_+} &= e^{i\alpha} \partial_1^j v|_{\Gamma_-}, \quad j = 0, 1; \end{aligned} \quad (1.2)$$

где  $\Gamma_0 = \partial\Pi \cap \partial\Omega$ ,  $\Gamma_\pm = \partial\Pi \cap \{x = (x_1, x_2) \in \mathbb{R}^2 : x_1 = \pm\pi\}$ . Мы рассматриваем область  $\Pi$  как волновод с одним цилиндрическим выходом на бесконечность. Сужение на  $\Pi$  решения  $Y_l$  задачи (1.1) удовлетворяет задаче (1.2). Нормировочный множитель  $c_n$  в выражении для волн был выбран так, чтобы поток энергии, переносимый каждой волной через сечение этого волновода, был равен единице. Коэффициенты  $S_{lm}$  являются элементами волноводной матрицы рассеяния задачи в  $\Pi$ . Метод вычисления матрицы рассеяния для такой задачи был предложен в работе [1] и обоснован в [2]. Опишем краевые задачи, которые необходимо численно решить, для того чтобы реализовать этот метод.

При  $R > 0$  положим  $\Pi^R = \Pi \cap \{x \in \mathbb{R}^2 : x_2 < R\}$ ,  $\Gamma_\pm^R = \Gamma_\pm \cap \{x \in \mathbb{R}^2 : x_2 < R\}$  и  $\Gamma^R = \partial\Pi^R \setminus \partial\Pi$ . Рассмотрим вспомогательную задачу

$$Aw(x, \mu) = \mu w(x, \mu), \quad x \in \Pi^R; \quad (1.3)$$

$$Bw(x, \mu) = 0, \quad x \in \Gamma_0; \quad \partial_1^k w|_{\Gamma_\mp^R} = e^{i\alpha} \partial_1^k w|_{\Gamma_\pm^R}, \quad k = 0, 1; \quad (1.4)$$

$$(\partial_\nu + i\zeta)w(x, \mu) = h, \quad x \in \Gamma^R; \quad (1.5)$$

здесь  $\zeta \in \mathbb{R} \setminus \{0\}$ ,  $h \in L_2(\Gamma^R)$ . Пусть  $Z_{k,\pm}^R$  – решения этой задачи при  $h = (\partial_\nu + i\zeta)v_k^\pm$ . Введем  $M \times M$ -матрицы с элементами

$$\begin{aligned} E_{ij}^R &= ((Z_{i,-}^R - v_i^-), (Z_{j,-}^R - v_j^-))_{\Gamma^R}, \\ F_{ij}^R &= ((Z_{i,+}^R - v_i^+), (Z_{j,-}^R - v_j^-))_{\Gamma^R} \end{aligned} \quad (1.6)$$

и положим

$$G_i^R = ((Z_{i,+}^R - v_i^+), (Z_{i,+}^R - v_i^+))_{\Gamma^R}.$$

Аппроксимацией  $S^R(\mu)$  для матрицы рассеяния  $S(\mu)$  является решение уравнения  $S^R E^R + F^R = 0$ .

Таким образом, для того чтобы приближенно вычислить матрицу рассеяния, необходимо численно решить задачу (1.3), полагая  $h = (\partial_\nu + i\zeta)v_k^\pm$ , затем составить матрицы  $E^R$  и  $F^R$  и найти решение линейной системы  $S^R E^R + F^R = 0$ .

§2. РАСШИРЕННАЯ МАТРИЦА РАССЕЙЯНИЯ

Пусть числа  $\mu$  и  $\mu'$  не являются порогами, причем  $\mu < \mu'$ . Рассмотрим все такие функции

$$V_n^\pm(x_1, x_2; \mu) = d_n e^{i(\alpha+n)x_1} e^{\pm((\alpha+n)^2 - \mu)^{1/2} x_2},$$

что целое число  $n$  удовлетворяет неравенствам  $\mu < (\alpha+n)^2 < \mu'$ ; здесь  $\alpha \in (-\pi, \pi)$  фиксировано,  $d_n = (4((\alpha+n)^2 - \mu))^{-1/4}$ . Пронумеруем пары  $V_n^\pm$  в произвольном порядке и обозначим через  $v_l^\pm$ ,  $l = L+1, \dots, L+M$ . Положим

$$\begin{aligned} \mathcal{V}_l^\pm &= v_l^\pm, & l = 1, \dots, L; \\ \mathcal{V}_l^\pm &= \frac{v_l^- \mp i v_l^+}{\sqrt{2}}, & l = L+1, \dots, L+M. \end{aligned}$$

Существуют решения  $\mathcal{Y}_l$ ,  $l = 1, \dots, L+M$ , однородной задачи (1.2), допускающие асимптотические разложения

$$\begin{aligned} \mathcal{Y}_l(x_1, x_2; \mu) &= \mathcal{V}_l^+(x_1, x_2; \mu) \\ &+ \sum_{m=1}^{L+M} \mathcal{S}_{lm}(\mu) \mathcal{V}_m^-(x_1, x_2; \mu) + O(e^{-(\Lambda+\delta)x_2}), \end{aligned} \quad (2.1)$$

где  $\Lambda = \max\{\alpha_l : l = L+1, \dots, L+M\}$ , а  $\delta$  – достаточно малое положительное число. Матрица  $\mathcal{S}$  с элементами  $\mathcal{S}_{lm}$ ,  $l, m = 1, \dots, L+M$ , унитарна и называется расширенной матрицей рассеяния.

Метод, описанный в предыдущем пункте, может применяться и для вычисления матрицы  $\mathcal{S}$ . Однако его сходимость может нарушаться при больших  $R$  в связи с тем, что волны  $\mathcal{V}_k^\pm$  при  $k > L$  растут на бесконечности с экспоненциальной скоростью. На рисунке 2 показана зависимость от  $R$  величины  $\|(\mathcal{S}^R)^* \mathcal{S}^R - I\|$ , характеризующей отклонение от унитарности результата вычисления  $\mathcal{S}^R$  расширенной матрицы рассеяния нашим методом. При  $M = 0$  не добавлено ни одного канала с экспоненциально растущими волнами, а значит вычисляется обычная матрица рассеяния; на всем показанном интервале изменения  $R$  наблюдается экспоненциальное стремление величины  $\|(\mathcal{S}^R)^* \mathcal{S}^R - I\|$  к нулю. С добавлением одного канала ( $M = 1$ ) экспоненциальный характер поведения  $\|(\mathcal{S}^R)^* \mathcal{S}^R - I\|$  сохраняется, но скорость стремления к нулю увеличивается (показатель экспоненты уменьшается). Улучшение сходимости вполне согласуется с теоретическими оценками, поскольку скорость сходимости равна скорости убывания остаточного

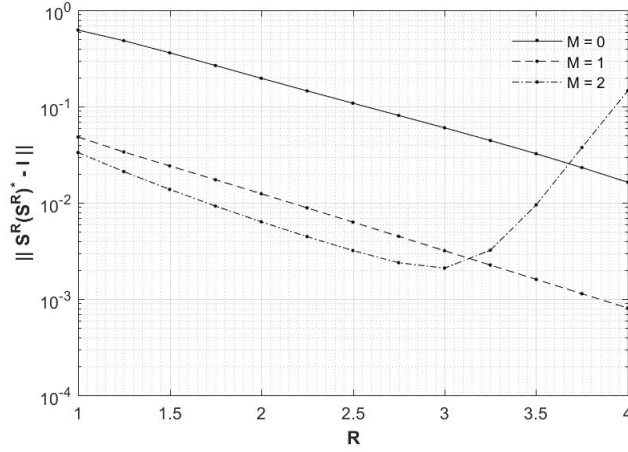


Рис. 2. Зависимость  $\|(\mathcal{S}^R)^* \mathcal{S}^R - I\|$  от  $R$ ;  $a/2\pi = 0.3$ ,  $b/2\pi = 0.6$ ,  $k = 1$ ,  $\alpha = 0.25$ .

слагаемого в асимптотике (2.1) решений однородной задачи, определяющих расширенную матрицу рассеяния. При  $M = 2$ , то есть при добавлении двух экспоненциально растущих каналов, поначалу поведение  $\|(\mathcal{S}^R)^* \mathcal{S}^R - I\|$  экспоненциальное, показатель экспоненты еще меньше, чем при  $M = 1$ . Однако при достаточно больших  $R$  отклонение  $\mathcal{S}^R$  от унитарности начинает нарастать. В случае  $M = 1$  такой эффект тоже наступает, но при настолько больших  $R$ , что раньше сказывается накопление ошибок метода конечных элементов.

### §3. ПОИСК ПОВЕРХНОСТНЫХ ВОЛН

Поверхностной волной в решетке называется решение задачи (1.1), затухающее с экспоненциальной скоростью при удалении от границы  $\partial\Omega$ . Термин "волна" в данной ситуации объясняется тем обстоятельством, что всякое такое решение имеет вид  $e^{i\alpha x_1} \varphi(x_1, x_2)$  при некотором вещественном  $\alpha$ , где функция  $\varphi$  периодична по переменной  $x_1$ . Параметр  $\alpha$  характеризует поток энергии, переносимый волной вдоль поверхности; знак  $\alpha$  указывает направление переноса. Сужение этого решения на ячейку периодичности  $\Pi$  является собственной функцией задачи (1.2). Обратно, продолжая на всю решетку собственную

функцию задачи на ячейке периодичности, получим решение задачи в решетке, сосредоточенное вблизи границы.

Собственные функции в волноводе можно обнаружить при помощи расширенной матрицы рассеяния. Пусть  $\mathcal{S}$  – расширенная матрица рассеяния, определенная в п. 2 для пары чисел  $\mu$  и  $\mu'$ ,  $\mu < \mu'$ . Запишем матрицу  $\mathcal{S}$  в блочном виде

$$\mathcal{S} = \begin{pmatrix} \mathcal{S}_{(11)} & \mathcal{S}_{(12)} \\ \mathcal{S}_{(21)} & \mathcal{S}_{(22)} \end{pmatrix},$$

где блоки  $\mathcal{S}_{(11)}$  и  $\mathcal{S}_{(22)}$  имеют размер  $L \times L$  и  $M \times M$ , соответственно. Известно [3], что число  $\mu$  является собственным для задачи в волноводе  $\Pi$ , а отвечающая ему собственная функция убывает на бесконечности медленнее, чем  $\exp(-\mu'x_2)$ , тогда и только тогда, когда число 1 является собственным числом блока  $\mathcal{S}_{(22)}(\mu)$ . Таким образом, приближенно вычислив расширенную матрицу рассеяния и обнаружив, что среди собственных чисел блока  $\mathcal{S}_{(22)}(\mu)$  присутствует 1, мы можем заключить, что в решетке при данном  $\mu$  имеется поверхностная волна. Отметим, что если 1 не является собственным числом  $\mathcal{S}_{(22)}(\mu)$ , то нельзя сделать вывод, будто поверхностной волны нет. Может так случиться, что поверхностная волна есть, но соответствующая собственная функция в волноводе убывает на бесконечности быстрее, чем  $\exp(-\mu'x_2)$ .

Пусть  $u = (u_1, \dots, u_M)$  – собственный вектор матрицы  $\mathcal{S}_{(22)}(\mu)$ , отвечающий собственному числу 1. Тогда линейная комбинация  $\mathcal{Y} = \sum_{j=1}^M u_j \mathcal{Y}_{L+j}$  экспоненциально затухает на бесконечности [3] и не равна тождественно нулю (поскольку функции  $\mathcal{Y}_{L+j}$  линейно независимы), а потому является собственной функцией задачи в волноводе. Реализуя описанную в п. 1 процедуру для вычисления расширенной матрицы рассеяния  $\mathcal{S}$ , мы попутно получаем приближение для собственной функции  $\mathcal{Y}$ . Поясним, как это приближение находить. Обозначим через  $\mathcal{Z}_{k,\pm}^R$  решения задачи (1.3)–(1.5) при  $h = (\partial_\nu + i\zeta)\mathcal{V}_k^\pm$ . Линейная комбинация  $\mathcal{Z}_l = \mathcal{Z}_{l,+}^R + \sum_{m=1}^{L+M} \mathcal{S}_{lm}^R \mathcal{Z}_{m,-}^R$  является приближением для функции  $\mathcal{Y}_l$  (ср. с (2.1)) в области  $\Pi^R$ , а комбинация  $\mathcal{Z} = \sum_{j=1}^M u_j \mathcal{Z}_{L+j}$  – соответственно, для функции  $\mathcal{Y}$ .

На рисунке 3 показан результат вычисления блока  $\mathcal{S}_{(22)}^R$  в ситуации, когда  $M = 1$ , то есть блок  $\mathcal{S}_{(22)}^R$  содержит единственный элемент, который обозначается через  $S_{11}$ . Изображены точки  $S_{11}(k^2)$  на комплексной плоскости для некоторых дискретных значений параметра  $k = \sqrt{\mu}$

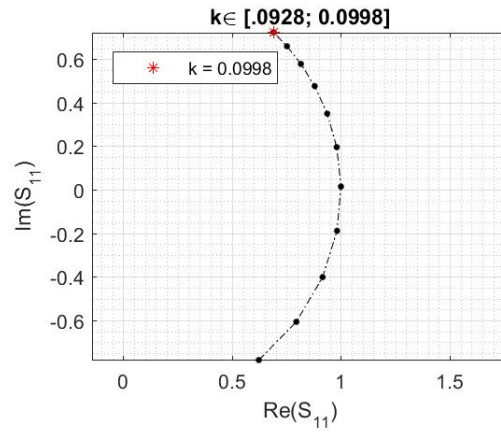


Рис. 3. Блок  $S_{(22)}^R = S_{11}$  при  $k = \sqrt{\mu} \in [0.0928; 0.0998]$ ;  $a/2\pi = 0.5$ ,  $b/2\pi = 0.6$ ,  $\alpha = 0.1$ .

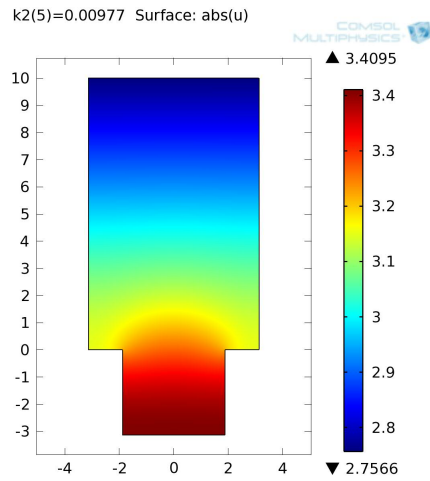


Рис. 4. Абсолютная величина собственной функции на ячейке периодичности  $\Pi$ ;  $k = \sqrt{\mu} = 0.09884$ .

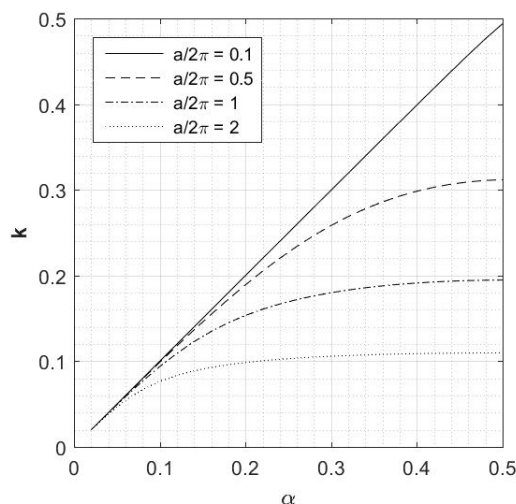


Рис. 5. Пары  $(\alpha, k)$ , при которых в решетке имеется поверхностная волна, для различных значений параметра  $a$ ;  $b/2\pi = 0.6$ .

из интервала  $[0.0928; 0.0998]$ . Значение  $S_{11}(k^2)$  при  $k = 0.0998$  отмечено звездочкой, а значение  $S_{11}(k^2) = 1$  достигается при  $k = 0.09884$ . При таком значении  $k$  функция  $\mathcal{Y}_{L+1}$  из (2.1) оказывается искомой собственной функцией. График абсолютной величины собственной функции изображен на рисунке 4.

Рис. 5 демонстрирует значения величины  $k = \sqrt{\mu}$ , при которой в решетке может распространяться поверхностная волна, как функцию от  $\alpha$ . Зависимость  $k$  от  $\alpha$  показана при нескольких значениях параметра  $a$ . На рисунке 6 параметр  $a$  фиксирован; для данного  $\alpha$  наблюдается две волны, отвечающих разным значениям энергии  $\mu = k^2$ .

#### §4. ЗАКЛЮЧЕНИЕ

При реализации метода вычисления расширенной матрицы рассеяния следует иметь в виду, что с ростом расстояния  $R$ , на котором

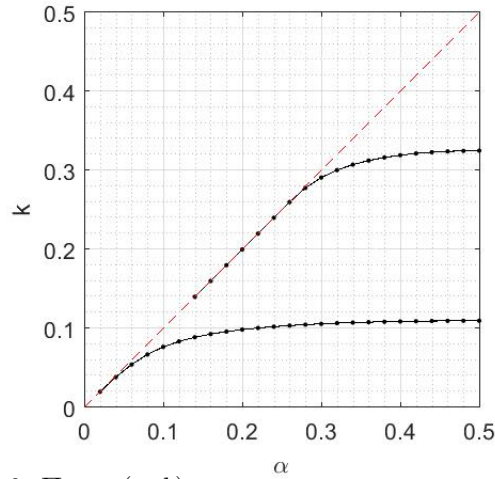


Рис. 6. Пары  $(\alpha, k)$ , при которых в решетке имеется поверхностная волна;  $a/2\pi = 2 b/2\pi = 0.6$ .

отсечен цилиндрический выход волновода, точность получаемого приближения растет только до определенного предела. Начиная с некоторого значения  $R_0$ , наблюдается рост ошибки приближения, связанный с экспоненциальным ростом рассматриваемых волн. Оптимальное значение параметра  $R$  можно выбрать, например, с помощью графика величины  $\|(\mathcal{S}^R)^* \mathcal{S}^R - I\|$ , характеризующего отклонение приближения  $\mathcal{S}^R$  от унитарности.

График зависимости энергии  $k^2$  поверхностной волны от параметра квазипериодичности  $\alpha$  представляет собой непрерывную кривую. Множество значений  $k^2$ , замечаемое при изменении  $\alpha$  на всем интервале возможных значений  $[-1/2, 1/2)$ , является зоной в непрерывном спектре задачи в решетке, отвечающей поверхностной волне. Одному значению  $\alpha$  может отвечать несколько волн с различными значениями полной энергии  $k^2$ .

#### СПИСОК ЛИТЕРАТУРЫ

1. V. Grikurov, E. Heikkola, P. Neittaanmäki, B. Plamenevskii, *On computation of scattering matrices and on surface waves for diffraction gratings*. — Numerische Mathematik **94**, No. 2 (2003), 269–288.

2. Б. А. Пламеневский, А. С. Порецкий, О. В. Сарафанов, *Метод вычисления матрицы рассеяния для акустических дифракционных решеток.* — Зап. научн. семина. ПОМИ **516** (2022), 238–252.
3. И. В. Камоцкий, С. А. Назаров, *Аномалии Вуда и поверхностные волны в задаче рассеяния на периодической границе. I.* — Матем. сб. **190**, No. 1 (1999) 109–138.

Kabardov M. M., Sarafanov O. V. Numerical search of surface waves in a periodic grating.

A two-dimensional reflection grating described by the Neumann problem for the Helmholtz equation is considered. The grating is obtained by adding a periodic sequence of rectangles to the upper half-plane. A method for approximate computation of the scattering matrix in the grating is implemented and its convergence is studied. A modification of the method is used for the numerical search of surface waves.

Санкт-Петербургский  
государственный университет телекоммуникаций  
им. проф. М. А. Бонч-Бруевича,  
пр. Большевиков, д. 22, к. 1,  
193232, г. Санкт-Петербург, Россия  
*E-mail:* kabardov@bk.ru

Поступило 30 сентября 2024 г.

Санкт-Петербургский  
государственный университет,  
Университетская набережная, д. 7/9,  
199034, г. Санкт-Петербург, Россия  
*E-mail:* o.sarafanov@spbu.ru